

多變量 解析法에 의한 누에 育種素材의 探索

2. 主成分 SCORE에 의하여 分類된 主要蠶品種間의 TOP 交雜에 의한 組合能力 檢定과豫測

鄭都燮* · 李仁銓** · 李相夢*** · 金三銀***

*密陽農蠶專門大學 · **慶北大學校 · ***蠶業試驗場

Classification and Selection of the Breeding Materials in the Silkworm, *Bombyx mori*, by Multivariate Analysis

2. Combining Ability and its Pre-estimate for the Top Cross Set made from the Silkworm Parental Lines Selected by Principal Component Analysis.

Do Sub Jung*, In Jeon Rhe**, Sang Mong Lee*** and Sam Eun Kim***

*Milryang National Junior College of Agriculture & Sericulture, Milryang, Korea,

**Kyungpook National University, Taegu, Korea,

***Sericultural Experiment Station, R.D.A., Suwon, Korea.

Summary

A 6×4 top-cross set was made from the ten silkworm parental lines selected by the first principal component scores.

They were also analysed for the relationship between the combining ability and the first principal component score.

The highest general combining ability effects were detected in the parental lines of Japanese, N39 and Chinese, C46, for the most quantitative characters in the study.

The first principal component score of factors related to silk productivity in the parents was significantly and positively correlated to the general combining ability of the twelve characters such as cocoon yield, cocoon weight, cocoon shell weight, cocoon shell percentage, duration of the 5th instar larvae, total larval period, length of a bave, weight of a bave, non-breaking length of a bave, non-breaking weight of a bave, raw silk percentage, and neatness.

Similarity distance (D^2) was related to the specific combining ability of the characters such as cocoon yield, non-breaking length of a bave, non-breaking weight of a bave, non-breaking ratio of a bave, raw silk percentage, neatness.

From the results, it is possible to predict the general combining ability effects by the principal component scores for the 12 characters of the parents related to silk productivity.

I. 緒 言

누에에서 地理的으로 遠緣關係에 있는 品種間의 交雜에 의하여 生產力이 높은 1代雜種을 生產할 때는 혼

히 日本種系 × 中國種系의 交雜種이 雜種強勢가 커서 實用的으로 많이 利用되고 있다. 이와같이 生產力이 優秀한 交雜種을 만들기 위해서는 組合能力이 優秀한 兩親을 選拔·利用하지 않으면 안되는데, 兩親의 組合能力을豫測하려면 實際的으로 많은 組合을 交配한 후

그 F_1 을 飼育하여 그들 結果로부터 交配組合能力을 把握하여야 한다(橋口, 1981). 이와 관련된 研究로서는 二面交雜을 利用한 量的形質의 遺傳分析(Hayman, 1957; Hayman, 1958; 孫等, 1987), 主要形質의 遺傳力과 그들 相互間의 關係(大井等, 1970; 大井・山下, 1977; 大井, 1981), 選拔場所에 따른 選拔交果의 差異(大塚・涉川, 1979), 量的形質의 選拔交果(倉澤, 1968; 山本・蒲生, 1974), F_2 世代集團의 選拔指數(齊尾, 1959), 交雜方法에 따른 形質의 變異性(渡部, 1961), 育種效果의 年次別 推移 및 評價(原田等, 1968; 権, 1986), 蠶育種의 現況과 展望(李等, 1985; 蒲生等, 1977) 등 많은 研究가 있다. 그러나 지금까지의 상당수의 級에 遺傳育種에 관한 시험은 組合數가 크게 늘어나 사육량이 많아지는 二面交雜을 利用한 예가 많아 시험수행에 時間과 努力 및 費用이 많이 소요되는 등 어려운 점이 많다. 이에 반하여 Top-交雜法에 의한 遺傳分析은 二面交雜方法보다 훨씬 적은 1/4조합으로서 조합능력을 검정할 수 있으므로 실용상 매우 유리할 것으로 생각된다.

또한 F_1 交配組合을 飼育 않고 母品種의 評價만으로 교배조합의 능력을 개략적으로 豫測할 수 있는 방법이 있다면 이러한 방법은 母本의 選拔에 매우 유용하게 사용될 수 있을 것으로 생각된다.

따라서 본 연구에서는 각물이나 가축의 품종분류에 많이 사용하는 주성분분석을 이용, 母品種을 선발하여(鄭等, 1989), Top-交雜으로 교배한 후 그 F_1 의 조합능력을 분석한 다음, 그 결과와 品種의 主成分 score와의 관계를 밝힘으로서 母品種의 特性을 이용한 F_1 세대의 교배조합능력의 예측의 가능성에 대하여 연구를

진행하였다.

II. 材料 및 方法

1. 交雜母本의 選拔 및 Top-交雜

1987年 春蠶期에 飼育한 148個 保存蠶 品種의 飼育成績을 主成分分析法에 의하여 분석한 후, 제 1주성분의 主成分 score가 1~30位에 해당되는 것을 주 1성분 上位 蠶品種으로 정하여, 그 範位內에 屬하는 日本種系 2品種(N_{26} ; 13位, N_{39} ; 4位), 中國種系 2品種(C_{46} ; 2位, C_{57} ; 14位)을, 70~100位에 해당되는 것을 제 1주성분 中位 蠶品種으로 정하여 日本種系 2品種(N_{76} ; 99位, 妙香; 79位)을, 119~148位에 해당되는 것을 제 1주성분 下位 蠶品種으로 정하고 日本種에서 2品種(褐圓; 130位, 漢江; 128位)을 F_1 交配用으로 각각 選拔하였다. 이 選拔된 日本種系 6品種, 中國種系 4品種을 利用하여 日本種系×中國種系의 24個組合에 대한 Top-交雜을 한 후 그 F_1 을 조사하였다.

2. 交雜母本 및 F_1 의 飼育과 形質 調査

主成分 score에 의하여 선발된, 原種 10個 品種과 이들 原種의 Top-交雜에 의해 만들어진 24個 交配組合(表 1)은 1988年 春蠶期에 密陽農蠶專門大學 蠶室에서 標準飼育條件에 준하여 飼育하였으며, 飼育管理는 蠶業試驗調查標準(蠶業試驗場)에 준하였다. 供試頭數는 시험子當 4齡起蠶 250頭 2反復으로 하였다. 調查한 形質은 化蛹比率, 收繭比率, 收繭量 1/顆數, 全繭重, 繭層重, 繭層比率, 5齡經過日數, 全齡經過日數, 繭絲長, 繭絲量, 繭絲纖度, 解舒絲長, 解舒絲量, 解舒率, 生絲量比率, 小節 및 Lousiness等 18個 形質이었다.

Table 1. Parental lines and their hybrids.

Index No.	The parental lines	Index No.	Hybrids	Index No.	Hybrids
1	N_{26}	11	$N_{26} \times C_{46}$	22	$N_{76} \times Hangang$
2	N_{39}	12	$N_{26} \times C_{57}$	23	$Hükjam \times C_{46}$
3	N_{76}	13	$N_{26} \times Karwon$	24	$Hükjam \times C_{57}$
4	Hükjam	14	$N_{26} \times Hangang$	25	$Hükjam \times karwon$
5	Myohyang	15	$N_{39} \times C_{46}$	26	$Hükjam \times Hangang$
6	Hwangyu	16	$N_{39} \times C_{57}$	27	$Myohyang \times C_{46}$
7	C_{46}	17	$N_{39} \times Karwon$	28	$Myohyang \times C_{57}$
8	C_{57}	18	$N_{39} \times hangang$	29	$Myohyang \times Karwon$
9	Karwon	19	$N_{76} \times C_{46}$	30	$Myohyang \times Hangang$
10	Hangang	20	$N_{76} \times C_{57}$	31	$Hwangyu \times C_{46}$
		21	$N_{76} \times Karwon$	32	$Hwangyu \times C_{57}$
				33	$Hwangyu \times Karwon$
				34	$Hwangyu \times Hangang$

3. 組合能力検定

組合能力検定에 사용된 統計的 모델은 $Y_{ijk} = \mu + \alpha_i + \beta_j + (\alpha\beta)_{ij} + e_{ijk}$ 를 사용하였는데 (Becker, W.A., 1985; Singh, R.K. & Chandhary, B.D., 1985) 여기에서 Y_{ijk} 는 i 번째 雌性親과 j 번째 雄性親의 交雜에서 생긴 k 번째 後代의 觀測值이고, μ 는 共通平均, α_i 는 i 번째 雌性親의 效果, β_j 는 j 번째 雄性親의 效果이며 $(\alpha\beta)_{ij}$ 는 i 번째 雌性親과 j 번째 雄性親의 交互作用이며, e_{ijk} 는 環境 및 其他의 遺傳的原因으로 因한 誤差項이다. 또한, GCA와 SCA는 각각

$$G_i = \bar{y}_{i..} - \bar{y}...$$

$$S_{ij} = \bar{y}_{ij..} - \bar{y}_{i..} - \bar{y}_{.j..} + \bar{y}...$$

로 구하였다.

계산은 農村振興廳의 AGRISP 팩키지를 利用하였다.

4. 類似度 距離(D^2)의 計算

2品種間의 距離(D^2)는 2品種의 제1主成分에서 제3主成分까지의 主成分 score의 差를 제곱한 것으로 그 計算式은 다음과 같다.

$$D_{29}^2 = \sum_{i=1}^n (Z_{ia} - Z_{ib})^2$$

III. 結果 및 考察

1. 主要形質間의 相關關係

10個 交配親과 24個 交配組合으로부터 調査된 形質間의 相關關係는 表 2와 같다. 化蛹比率(X_1)은 收繭量(X_3), 解舒絲長(X_{13})과 5% 水準에서 正의 相關을, 全齡經過日數(X_8)와는 5% 有意水準에서 負의 相關을 보였고 기타 대부분의 다른 形質과는 相關이 인정되지 않았다.

上繭比率(X_2)은 어떠한 형질과도 相關이 인정되지 않았다.

收繭量(X_3)은 17顆數(X_4)와는 고도의 負의 相關을, 全繭重(X_5), 繭層重(X_6), 繭層比率(X_7), 5齡經過日數(X_8), 繭絲長(X_{10}), 繭絲量(X_{11}), 繭絲纖度(X_{12}), 解舒絲長(X_{13}), 解舒絲量(X_{14}), 生絲量比率(X_{16}), 小節(X_{17})등 대부분의 實用形質들과 5% 또는 1% 有意水準의 正의 相關을 보였다.

17顆數(X_4)는 대부분의 형질과 부의 相關을 보였으며, 全繭重(X_5), 繭層重(X_6), 繭層比率(X_7), 繭絲長(X_{10}), 繭絲量(X_{11}), 解舒絲長(X_{13}), 解舒絲量(X_{14}), 生絲量比率(X_{16}), 및 小節(X_7) 등 實用形質은 그들 상호간에 고도의 正의 相關을 보였다. 解舒率(X_{15})은 繭層比率(X_7), 全齡經過日數(X_8)와의 負의 相關을, 解舒絲長(X_{13}), 解舒絲量(X_{14})과는 正의 相關을 보였으

나 다른 形質과는 相關이 인정되지 않았다. 이상의 結果에서 볼때 대부분의 實用形質들은 서로 고도의 상관관계를 보이나 화용비율은 대부분의 다른 形質들과 負의 相關 또는 無相關을 나타내고 있는데 이 결과는 强健性과 多絲量을 同時に 만족시킬 수 있는 强健・多絲量系統누에의 육성은 쉽지 않음을 시사하고 있다고 하겠다.

또한 장려잡품종육성에 있어서 중요한 形質인 解舒率은 대부분의 다른 形質과 負의 相關 또는 無相關을 보여 多絲量이면서도 解舒가 좋은 品種의 育成은 育種上 다소 어려움이 있음을 쉽게 알 수 있다.

2. 供試母本의 組合能力検定

가. 6×4 Top-交配組合에 대하여 分散分析을 행하였는데(表 3) 化蛹比率(X_1) 및 繭絲長(X_{10})을 제외한 16개의 형질은 交配組合, 雌性親, 雄性親, 雌性親×雄性親에서 고도의 유의성을 보였다.

나. 一般組合能力(General Combining Ability: GCA)

調査한 形質의 10個母本에 대한 一般組合能力을 보면(表 4), 일반조합능력은 日本種 6個原種中 N_{26} , N_{39} 17顆數를 제외한 다른 8個形質에서 가장 우수하였으며 N_{76} , 妙香의 2個原種은 中間 정도이고 黑蠶, 黃油는 가장 낮았다.

한편 中國種系의 경우 C_{46} , C_{57} 의 17顆數를 제외한 대부분의 형질에서 높은 GCA를 나타냈고 褐圓, 漢江은 낮은 GCA를 보였다.

9個의 繭絲形質에 대한 10個原種의 GCA를 表 5에 나타냈다.

日本種系의 GCA는 N_{39} 가 繭絲纖度, 解舒率, Lousiness를 제외한 대부분의 조사형질에서 가장 높았으며 N_{26} , 妙香, N_{76} , 黑蠶, 黃油順으로 낮아졌다.

解舒率의 GCA는 黑蠶이 가장 높았으며 妙香이 가장 낮았다.

中國種系統의 GCA는 C_{46} 의 대부분의 형질에서 높게 나타났으며, C_{57} 은 中間 정도이며, 漢江, 褐圓은 비교적 낮았다.

이상의 결과에서 日本種系, 中國種系 다같이 主成分 score가 높은 품종은 GCA가 높게, 낮은 품종은 GCA가 낮게 나타나는 경향이 있다.

다. 特定組合能力(Specific Combining Ability: SCA)

$6 \times 4 F_1$ Top-交配組合의 9個飼育形質에 대한 特定組合能力을 表 6에 나타냈다.

形質別 가장 우수한 SCA를 나타낸 交配組合은 全齡經過日數; 妙香× C_{57} , 化蛹比率; 黑蠶×褐圓, 收繭量; 黃油× C_{46} , 全繭重; N_{76} × C_{57} , 繭層重; 妙香× C_{57} , 繭

Table 2. Correlation coefficients of eighteen Characters.

Characters	X_1	X_2	X_3	X_4	X_5	X_6	X_7	X_8	X_9	X_{10}	X_{11}	X_{12}	X_{13}	X_{14}	X_{15}	X_{16}	X_{17}	X_{18}
Pupation percentage (X_1)	-0.07	0.43*	-0.26	0.23	0.22	0.16	-0.25	-0.37	0.33	0.24	-0.20	0.40	0.30	0.11	0.18	0.14	-0.07	
Good cocoon percentage (X_2)	-	0.26	-0.04	0.19	0.18	0.18	0.20	0.26	0.26	0.22	-0.12	0.28	0.24	0.05	0.23	0.25	0.16	
Cocoon yield (X_3)	0.86	—	0.94	0.87**	0.72	0.38	0.22	0.77	0.88	0.36	0.64	0.70	-0.08	0.74	0.72	-0.05	—	
No. of cocoons per 1 (X_4)	—	-0.90	-0.89	0.80	-0.41	-0.30	-0.78	-0.86	-0.28	-0.44	-0.49	0.34	-0.76	-0.71	0.12	—	—	
Cocoon weight (X_5)	—	0.92	0.77	0.51	0.39	0.78	0.91	0.41	0.51	0.59	-0.22	0.76	0.73	0.73	0.73	-0.09	—	
Cocoon shell weight (X_6)	—	0.95	0.64	0.56	0.92	0.58	0.25	0.55	0.55	0.57	-0.33	0.91	0.79	0.79	0.79	-0.25	—	
Cocoon shell percentage (X_7)	—	0.68	0.64	0.92	0.92	0.93	0.10	0.52	0.52	0.50	-0.38	0.94	0.94	0.94	0.94	0.78	*0.37	
Larval period of the 5th instar silkworm (X_8)	—	—	0.90	0.58	0.63	0.17	0.35	—	0.36	0.36	-0.21	0.65	0.65	0.55	0.55	0.55	-0.33	
Total larval period of the silkworm (X_9)	—	—	—	0.49	0.52	0.13	0.11	0.12	0.12	0.38	0.54	0.46	0.46	0.46	0.46	0.46	-0.29	
Length of a bave (X_{10})	—	—	—	0.93	-0.13	0.63	0.54	-0.31	0.92	0.92	0.92	0.79	0.79	0.79	0.79	0.79	-0.27	
Weight of a bave (X_{11})	—	—	—	0.22	0.64	0.66	0.66	0.66	0.66	0.66	-0.22	0.95	0.95	0.95	0.95	0.95	-0.24	
Size of a bave (X_{12})	—	—	—	—	0.03	0.32	0.16	0.16	0.16	0.16	0.16	0.08	0.09	0.09	0.09	0.09	0.05	
Non-breaking length of a bave (X_{13})	—	—	—	—	0.95	0.52	0.70	0.58	0.58	0.52	0.70	0.58	0.58	0.58	0.58	0.58	-0.10	
Non-breaking weight of a bave (X_{14})	—	—	—	—	—	0.56	0.68	0.56	0.56	0.56	0.68	0.56	0.56	0.56	0.56	0.56	-0.05	
Non-breaking ratio of a bave (X_{15})	—	—	—	—	—	—	—	—	—	—	—	—	—	—	—	—	—	
Percentage of raw silk (X_{16})	—	—	—	—	—	—	—	—	—	—	—	—	—	—	—	—	—	
Neatness (X_{17})	—	—	—	—	—	—	—	—	—	—	—	—	—	—	—	—	-0.05	
Lousiness (X_{18})	—	—	—	—	—	—	—	—	—	—	—	—	—	—	—	—	—	

*, **: Significant at 5% and 1% levels, respectively.

Table 3. Anova for line \times tester analysis in the silkworm.

Source of variation	d.f.	X_1	X_2	X_3	X_4	X_5	X_6	X_7	X_8	X_9
Total	47	—	—	—	—	—	—	—	—	—
F_1 combinations	23	14.231	70.514	8.103	197.811	0.071	120.524	11.533	0.945	1.468
Female	3	22.916	56.156	3.690	708.167	0.288	478.005	37.698	2.301	4.880
Male	5	16.543	207.219	14.728	401.381	0.121	257.153	28.514	2.053	3.062
Female \times Male	15	11.722	27.818	1.177	27.883	0.010	3.484	0.639	0.305	0.254
Error	23	22.415	16.286	0.302	4.171	0.001	0.602	0.132	0.024	0.042
	d.f.	X_{10}	X_{11}	X_{12}	X_{13}	X_{14}	X_{15}	X_{16}	X_{17}	X_{18}
Total	47	—	—	—	—	—	—	—	—	—
F_1 combinations	23	3,710.140	113.350	0.114	75,574.200	83.431	406.840	11.991	52.451	42.304
Female	3	2,724.050	495.315	0.227	191,141.000	255.355	104.948	47.562	123.510	34.333
Male	5	8,031.920	214.053	0.214	110,092.000	79.607	708.419	21.969	98.262	26.600
Female \times Male	15	2,466.760	3.389	0.058	40,954.900	50.321	366.693	1.550	22.968	49.133
Error	23	3,915.540	0.516	0.002	192.522	0.616	4.632	0.102	0.001	0.000

See tabel 2 for legend.

Table 4. Estimates of general combining ability effects for 9 major characters in 10 parental silkworm lines.

Silkworm strains \ Major characters	Larval period of the 5th instar silkworm	Total larval period	Pupation percentage	Good cocoon percentage	Cocoon yield	No. of cocoons per liter	Cocoon weight	Cocoon shell weight	Cocoon shell percentage
Japanese lines									
N_{26} (H)	0.34	0.46	1.04	0.69	0.86	-5.58	7.54	5.02	1.83
N_{39} (H)	0.76	0.84	1.69	2.35	0.80	0.17	5.60	4.41	1.76
N_{76} (M)	-0.03	-0.03	-1.41	7.86	1.23	2.41	6.60	0.97	-0.03
Hükjam (L)	-0.40	-0.62	0.84	-4.76	-0.80	4.40	-6.28	-5.72	-2.30
Myohyang (M)	-0.02	0.12	-0.26	-6.24	0.27	-10.33	9.02	3.60	0.98
Hwangyu (L)	-0.65	-0.77	-1.91	0.10	-2.36	9.29	-22.48	-8.28	-2.24
Chinese lines									
C_{46} (H)	0.45	0.79	0.19	1.14	1.71	-7.80	15.70	7.42	2.19
C_{57} (H)	0.29	0.25	0.83	1.23	0.98	-6.83	10.04	2.40	0.33
Karwon (L)	-0.47	-0.53	-2.01	-3.23	-1.82	9.50	-17.52	-7.24	-2.09
Hangang (L)	-0.27	-0.51	0.99	0.86	-0.87	4.41	-8.22	-2.58	-0.43

Note: H,M,L in parenthesis indicate high, medium, and low in the rank of first principal component scores of the 148 silkworm genetic stocks, respectively.

層比率; $N_{76} \times C_{46}$ 이며, 가장 낮은 SCA를 나타낸 교配組合은 全齡經過日數; $N_{39} \times C_{57}$, 化蛹比率; 黑蠶 $\times C_{46}$, 收繭量; $N_{76} \times 漢江$, 全繭重; $N_{76} \times C_{46}$, 繭層重; 黃油 \times 漢江, 繭層比率; $N_{76} \times 漢江$ 으로 形質에 따라 우수교배 또는 열등교배조가 매우 달라 어떤 일정 경향이 없음을 알 수 있다. 즉 SCA의 예측이 어려워 결국 원종

의 교재에 의하여 F_1 을 사용해야만 생산력이 우수한 F_1 交配組合을 선발할 수 있을 것으로 판단된다.

9個綠絲形質의 SCA를 보면(表 7), 形質別 SCA가 가장 높은 교配組合은 解舒絲長, 解舒率, 生絲量比率에서는 $N_{26} \times 褐圓$ 이며, 繭絲長에서는 黃油 \times 漢江, 繭絲量에서는 黑蠶 $\times C_{46}$, 繭絲纖度에서는 妙香 \times 漢江, 小

Table 5. Estimates of general combining ability effects for 9 reeling characters in 10 parental silkworm lines.

Silkwormlines \ Characters	Length of a bave	Weight of a bave	Size of a bave	Non-breaking length of a bave	Non-breaking weight of a bave	Non-breaking ratio of a bave	Percentage of raw silk	Neatness	Lousiness
Japanese lines									
N ₂₆ (H)	159	4.3	-0.06	65	1.6	-2.1	1.32	2.0	0.5
N ₃₉ (H)	210	4.1	-0.20	185	4.0	2.6	1.74	3.8	-2.0
N ₇₆ (M)	30	1.9	0.04	31	1.5	0.0	0.43	0.9	2.3
Hükjam (L)	-281	-6.0	0.29	-53	0.5	12.7	-2.40	-6.2	1.5
Myohyang (M)	103	2.9	-0.05	-128	-4.4	-16.2	0.56	1.0	-2.3
Hwangyu (L)	-220	-7.1	-0.03	-101	-3.2	2.6	-1.65	-1.5	0.0
Chinese lines									
C ₄₆ (H)	180	7.1	0.14	109	4.7	1.7	2.23	2.2	-1.75
C ₅₇ (H)	75	2.8	0.02	79	2.7	3.1	0.54	3.1	2.1
Karwon (L)	-249	-7.8	0.03	-171	-5.6	-3.4	-2.56	-3.7	0.6
Hangang (L)	-5	-2.1	-0.19	-17	-1.8	-1.4	-0.21	-1.6	-0.9

Note: H,M,L in parenthesis indicate high, medium, and low in the rank of first principal component scores of the 148 silkworm genetic stock, respectively.

Table 6. Estimates of the specific combining ability effects for 9 major characters in 24 F₁ hybrids of silkworm.

Combiinatons \ The major economic characters	Larval period of the 5th instar silkworm	Total larval period	Pupati-on percen-tage	Good cocoon percen-tage	Cocoon yield	No. of cocoons per liter	Cocoon weight	Cocoon shell weight	Cocoon shell percen-tage
Japanese × Chinese									
N ₂₆ × C ₄₆	0.19	0.26	2.16	-5.67	-0.34	-0.17	8.15	0.98	-0.64
N ₂₆ × C ₅₇	-0.00	-0.09	-0.48	-1.17	-0.73	1.08	-4.70	-0.29	0.22
N ₂₆ × Karwon	0.00	-0.07	-2.04	3.00	1.03	-3.25	3.57	0.43	0.14
N ₂₆ × Hangang	-0.19	-0.09	0.36	3.84	0.04	2.33	-7.03	-1.11	0.27
N ₃₉ × C ₄₆	0.13	0.24	1.71	1.44	0.09	3.08	-4.10	-1.47	-0.48
N ₃₉ × C ₅₇	0.45	0.66	-0.93	-2.92	-0.25	-0.67	0.35	0.88	0.24
N ₃₉ × Karwon	0.04	-0.44	-1.29	-3.68	-0.21	0.00	5.22	0.84	0.14
N ₃₉ × Hangang	-0.62	-0.46	0.51	5.16	0.37	-2.42	-1.48	-0.25	0.09
N ₇₆ × C ₄₆	0.33	-0.01	-2.79	-0.45	-0.67	-1.17	-15.50	-0.61	1.24
N ₇₆ × C ₅₇	-0.38	-0.35	1.77	-1.26	0.73	0.58	8.45	1.34	-0.21
N ₇₆ × Karwon	-0.12	-0.05	0.81	1.75	-0.81	-1.75	-1.38	-0.79	-0.24
N ₇₆ × Hangang	0.17	-0.41	0.21	-0.04	0.75	2.32	8.42	0.05	-0.78
Hükjam × C ₄₆	-0.17	-0.30	-5.04	0.07	-0.12	-3.29	3.48	0.15	-0.03
Hükjam × C ₅₇	0.45	0.24	2.72	1.61	0.66	2.96	-2.47	-1.34	-0.35
Hükjam × Karwon	-0.29	0.06	2.96	1.93	0.16	0.63	-0.50	1.17	0.45
Hükjam × Hangang	0.01	-0.00	-0.64	-3.61	-0.70	-0.29	-0.50	0.11	-0.06
Myohyang × C ₄₆	-0.56	-0.04	2.65	1.23	-0.14	4.08	0.48	0.98	0.21
Myohyang × C ₅₇	-0.40	-0.50	-1.37	2.18	-0.74	-2.67	-5.77	7.89	-0.41
Myohyang × Kareon	0.34	0.28	0.46	1.93	0.69	-2.00	0.50	-1.10	-0.40
Myohyang × Hangang	0.62	0.26	-1.74	-5.04	0.18	0.58	4.80	2.01	0.60
Hwangyu × C ₄₆	0.08	-0.15	1.31	3.37	1.17	-2.54	7.48	-0.05	-0.30
Hwangyu × C ₅₇	-0.12	0.04	-1.73	1.56	0.32	-1.29	4.13	1.30	0.51
Hwangyu × Karwon	0.03	0.22	-0.89	-4.92	-0.85	6.38	-7.40	-0.55	-0.09
Hwangyu × Hangang	0.00	-0.00	1.31	-0.00	-0.65	-2.54	-4.20	-1.71	-0.11

Table 7. Estimates of specific combining ability effects for 9 reeling characters in 24 F₁ hybrids.

Combinations	Cocoon quality characters	Length of a bave	Weight of a bave	Size of a bave	Non-breaking weight of a bave	Non-breaking weight of a bave	Non-breaking ratio of a bave	Percentage of raw silk	Neatness	Lousiness
N ₂₆	× C ₄₆	52	-1.0	-0.20	-210	-8.1	-20.4	-1.11	-0.6	2.0
N ₂₆	× C ₅₇	-38	-0.0	0.10	-15	0.3	-1.2	-0.20	-1.5	-1.8
N ₂₆	× Karwon	79	1.9	-0.10	292	8.6	23.3	1.41	1.3	1.7
N ₂₆	× Hangang	-92	-0.9	0.20	-68	-0.7	-1.7	-0.11	0.7	-1.8
N ₃₉	× C ₄₆	15	-0.6	-0.06	1	-0.5	-3.1	-0.34	-0.1	3.5
N ₃₉	× C ₅₇	-3	0.3	0.05	19	0.9	0.8	-0.07	-1.0	-2.3
N ₃₉	× Karwon	41	1.3	-0.06	-37	-1.0	-2.5	0.63	-0.2	-5.8
N ₃₉	× Hangang	-54	-1.1	0.07	16	0.7	4.8	-0.21	1.2	4.7
N ₇₆	× C ₄₆	-3	-0.4	-0.03	9	-0.0	-1.4	0.40	-2.7	-4.8
N ₇₆	× C ₅₇	-5	0.6	0.07	-19	-0.2	-1.7	-0.45	0.9	-1.6
N ₇₆	× Karwon	26	0.1	-0.09	-0	-0.3	0.7	0.64	-2.3	-0.1
N ₇₆	× Hangang	-17	-0.3	0.06	11	0.5	2.4	-0.59	4.1	6.4
Hükjam	× C ₄₆	0	1.9	0.12	160	7.2	14.2	0.91	2.9	5.0
Hükjam	× C ₅₇	27	0.1	-0.09	-1	-0.6	-0.6	0.55	3.7	0.2
Hükjam	× Karwon	-77	-2.5	0.14	-196	-6.6	-15.6	-1.66	-4.1	-3.3
Hükjam	× Hangang	50	0.5	-0.16	37	-0.0	1.9	0.20	-2.5	-1.8
Myohyang	× C ₄₆	15	0.4	-0.10	-126	-4.8	-11.1	-0.38	-1.8	-5.3
Myohyang	× C ₅₇	11	-1.7	-0.15	-48	-2.4	-5.2	-0.35	-4.0	7.9
Myohang	× Karwon	-10	-0.0	-0.04	127	4.4	11.2	0.25	3.1	0.4
Myohang	× Hangang	-17	1.2	0.20	47	2.9	5.1	0.47	2.7	-3.1
Hwangyu	× C ₄₆	-80	-0.3	0.18	166	6.4	21.8	0.51	2.2	0.5
Hwangyu	× C ₅₇	9	0.6	0.03	65	2.1	7.9	0.52	1.8	-2.3
Hwangyu	× Karwon	-60	-0.7	0.14	-186	-5.1	-17.1	-1.27	2.2	7.2
Hwangyu	× Hangang	131	0.3	-0.36	-44	-3.3	-12.6	0.23	-6.2	-4.3

節에서는 N₇₆ × 漢江, Lousiness는 妙香 × C₅₇이다. 또한 SCA가 가장 낮은 교배조합도 형질에 따라 매우 다르다.

이상의 결과에서 緑絲形質의 경우도 SCA는 교배조합과 형질에 따라 변이가 심하여 일정한 경향은 보이지 않았다. 즉 GCA의 예측과는 달리 종합적으로 형질을 요약, 간단명료하게 교배조합의 SCA를 평가함이 쉽지 않음을 알 수 있다.

3. 交雜原種과 1代雜種의 上位 主成分 座標上의 分布

10개原種과 24개 교배조합의 成績을 함께 主成分分析法으로 분석한 후 Z₁–Z₂의 散點圖를 그린 결과를 보면 (그림 4), 左側面(LL)에는 제 1성분 score가 작은 母本과 그들의 교배조합이, 中央面(LH, HL, MH, ML)에는 제 1주성분 score가 中位인 母本과 그들의 교배조합이 대부분 분포되어 있다. 또한 右側面(HH)에는 제 1주성분 score가 큰 母本과 그들의 교배조합이 주로分布되어 있다.

9개의 緑絲形質의 主成分分析結果도 (그림 2), 飼育形質의 主成分分析結果와同一한 경향을 보이고 있다. 이상의 결과에서 飼育形質 및 緑絲形質 다같이一代交雜의 교배樣式이 주성분 score하위원종 끼리의 고장경우(L×L) 形質發現이 最下位이고 兩親中 片親이主成分 score 上位原種 (H) 또는 主成分中位原種(M)과 交雜되면 形質發現은 中間水準이고 主成分上位原種間交雜일 경우(H×H) 形質發現은 上位임을 알 수 있다. 그러므로 제 1주성분 score가 上位인 系統은 優性下位인 系統은 劣性效果를 나타낸다고 할 수 있다.

4. 上位主成分 및 類似度距離(D^2)와 組合能力과의 關係

가. 上位主成分과 一般組合能力

148個 保存蠶品種中 交配母本으로 選拔된 10개 原種의 第 1主成分 score(Z₁)와 18개調査形質의 GCA와의 相關關係를 보면 (그림 3, 4), 交配母本의 第 1主成分 score는 收繭量(X₃), 全繭重(X₅), 繭層重(X₆), 繭層比率(X₇), 5齡經過日數(X₈), 全齡經過日數(X₉) 등 6

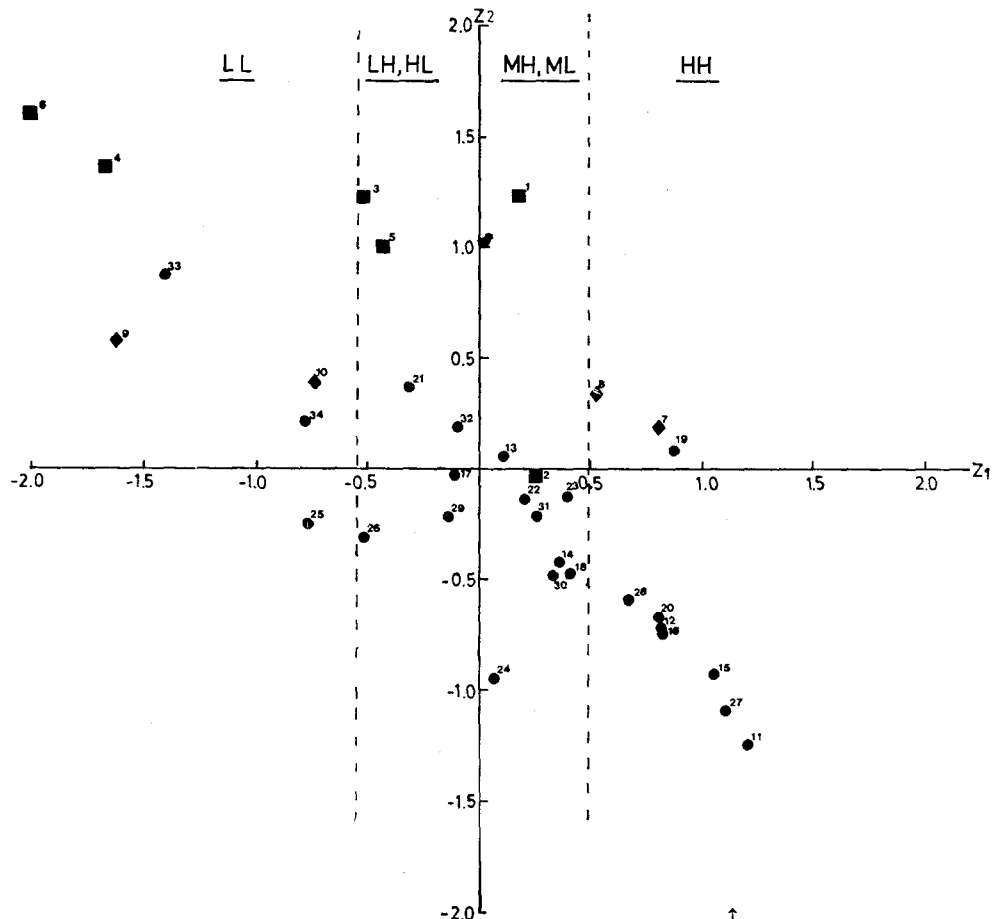


Fig. 1. Diagram from principal component analysis using the nine cocoon characters. The diagram shows the positions of the ten parental lines and twenty four F_1 hybrids against the 1st (Z_1) and the 2nd (Z_2) component scores. The Arabic numerals are parents and hybrids number presented in table 9. H.M.L indicate high, medium, and low in the first principal component scores of the 148 silkworm genetic stocks, respectively. The abbreviations ■, Japanese parents; ♦, Chinese parents; ●, F_1 hybrids; LL, $L \times L$; LH, $L \times H$; HL, $H \times L$; MH, $M \times H$; ML, $M \times L$; HH, $H \times H$.

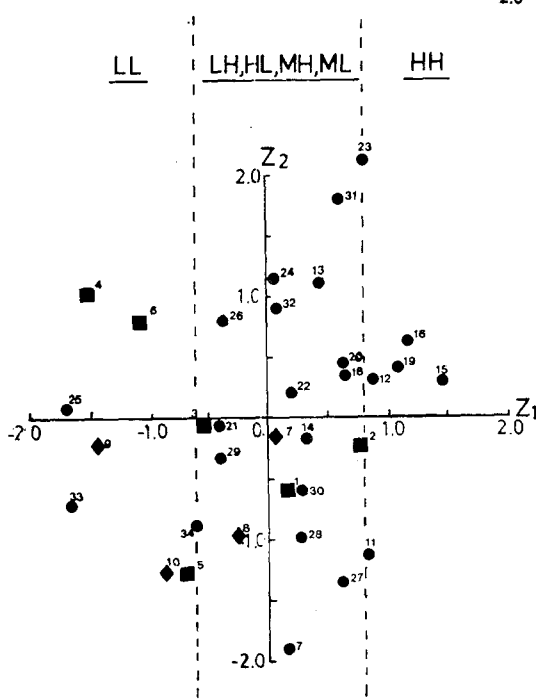


Fig. 2. Diagram from principal component analysis using the nine reeling characters. The diagram shows the positions of the ten parental lines and twenty four F_1 hybrids against the 1st (Z_1) and the 2nd (Z_2) component scores. The Arabic numerals are parents and hybrids number presented in table 9. The letters, H.M.L indicate high, medium, and low position in the first principal component scores of the 148 silkworm genetic stocks, respectively. The abbreviations ■, Japanese parents; ♦, Chinese parents; ●, F_1 hybrids; LL, $L \times L$; LH, $L \times H$; HL, $H \times L$; MH, $M \times H$; ML, $M \times L$; HH, $H \times H$.

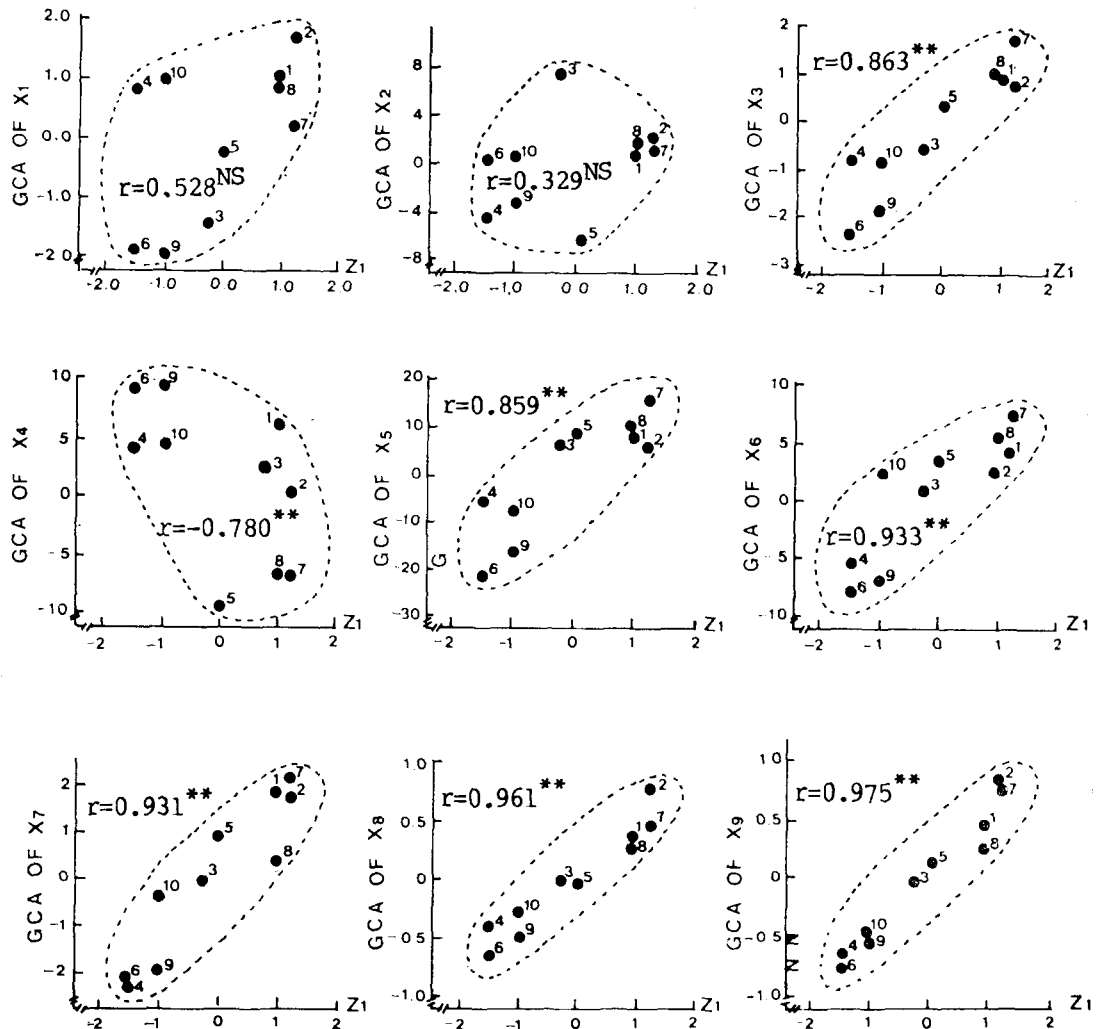


Fig. 3. Correlation between the first principal component (Z_1) of the ten parents selected from the one hundred and forty eight silkworm genetic stocks and the GCA for nine cocoon characters ($X_1 \sim X_9$) was estimated from their F_1 hybrid combinations. See table 1 and table 2 for legend.

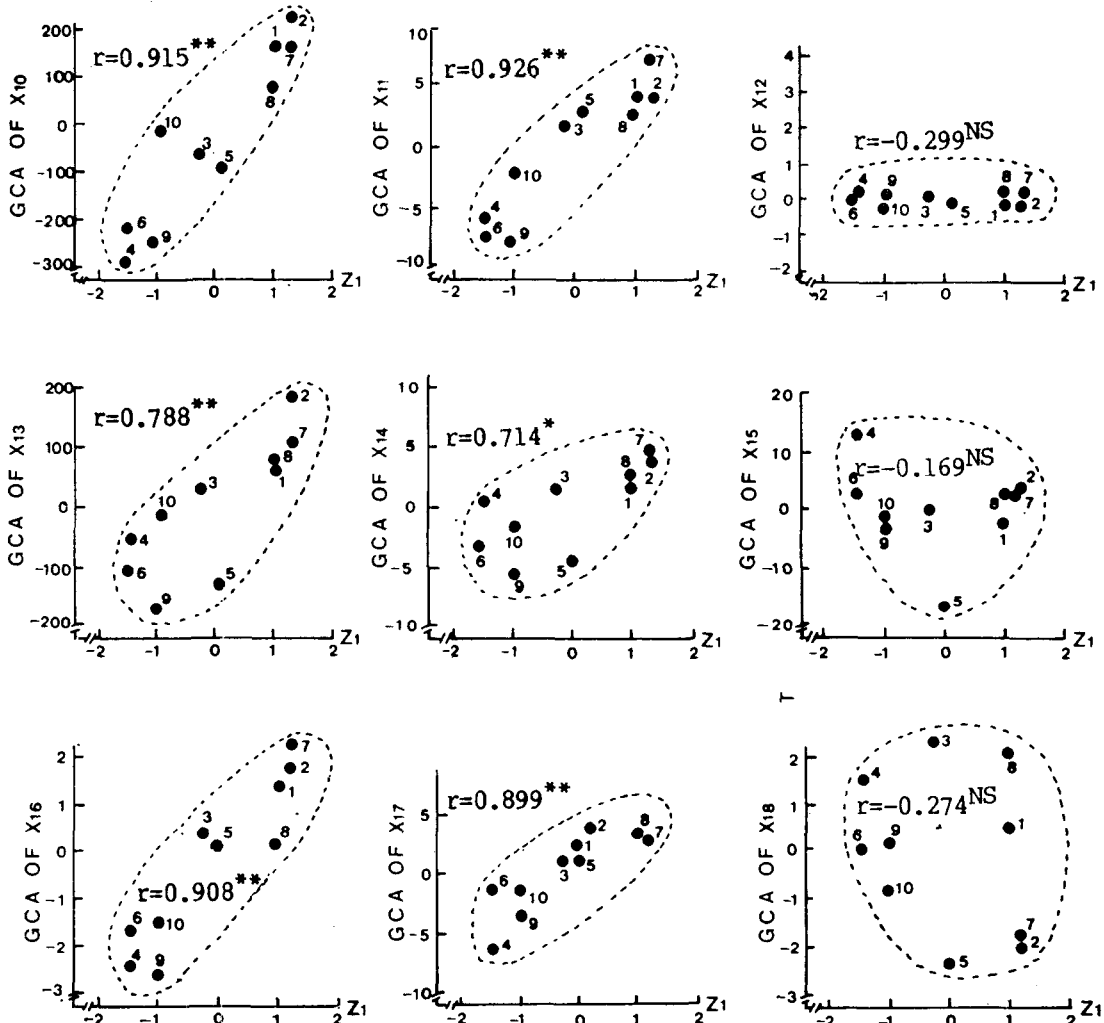


Fig. 4. Correlation between the first principal component(Z_1) of the ten parents selected from the one hundred and forty eight silkworm genetic stocks and the GCA for nine reeling characters ($X_{10} \sim X_{18}$) was estimated from their F_1 hybrid combinations. See table 1 and table 2 for legend.

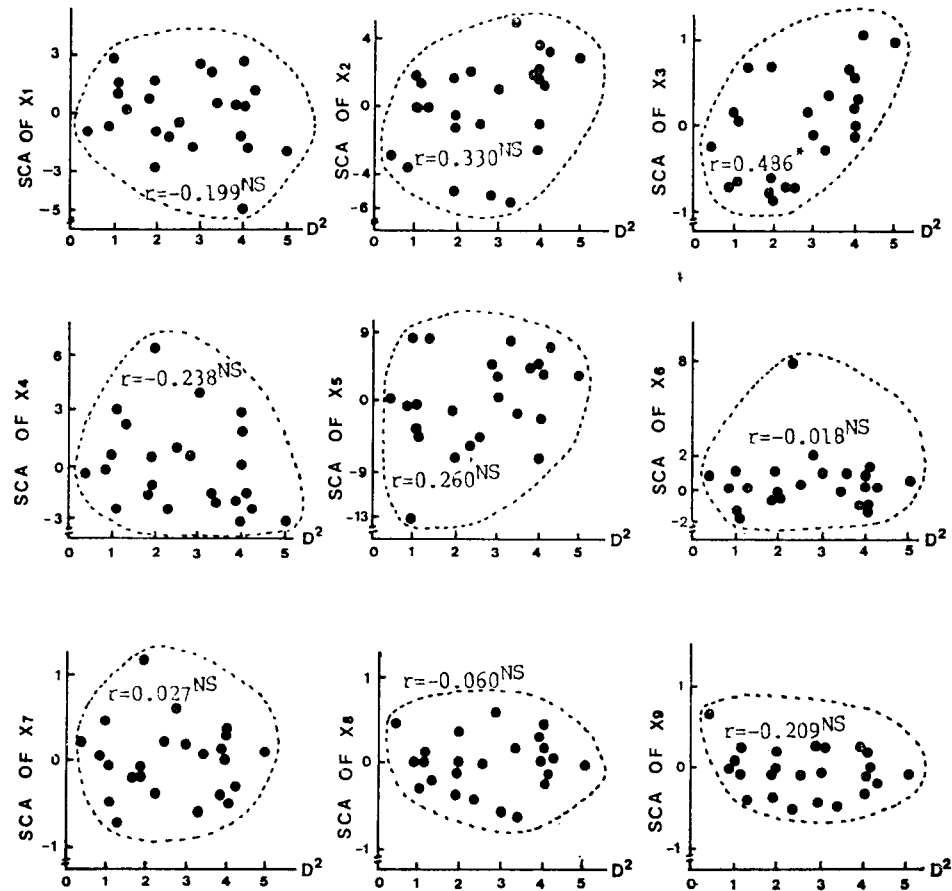


Fig. 5. Correlation between similarity coefficient(D^2) and SCA of 6×4 top cross set for nine cocoon characters. The twenty four marks within each dotted circle indicate twenty four F_1 hybrids made from 6×4 top cross set. See table 1 and table 2 for legend.

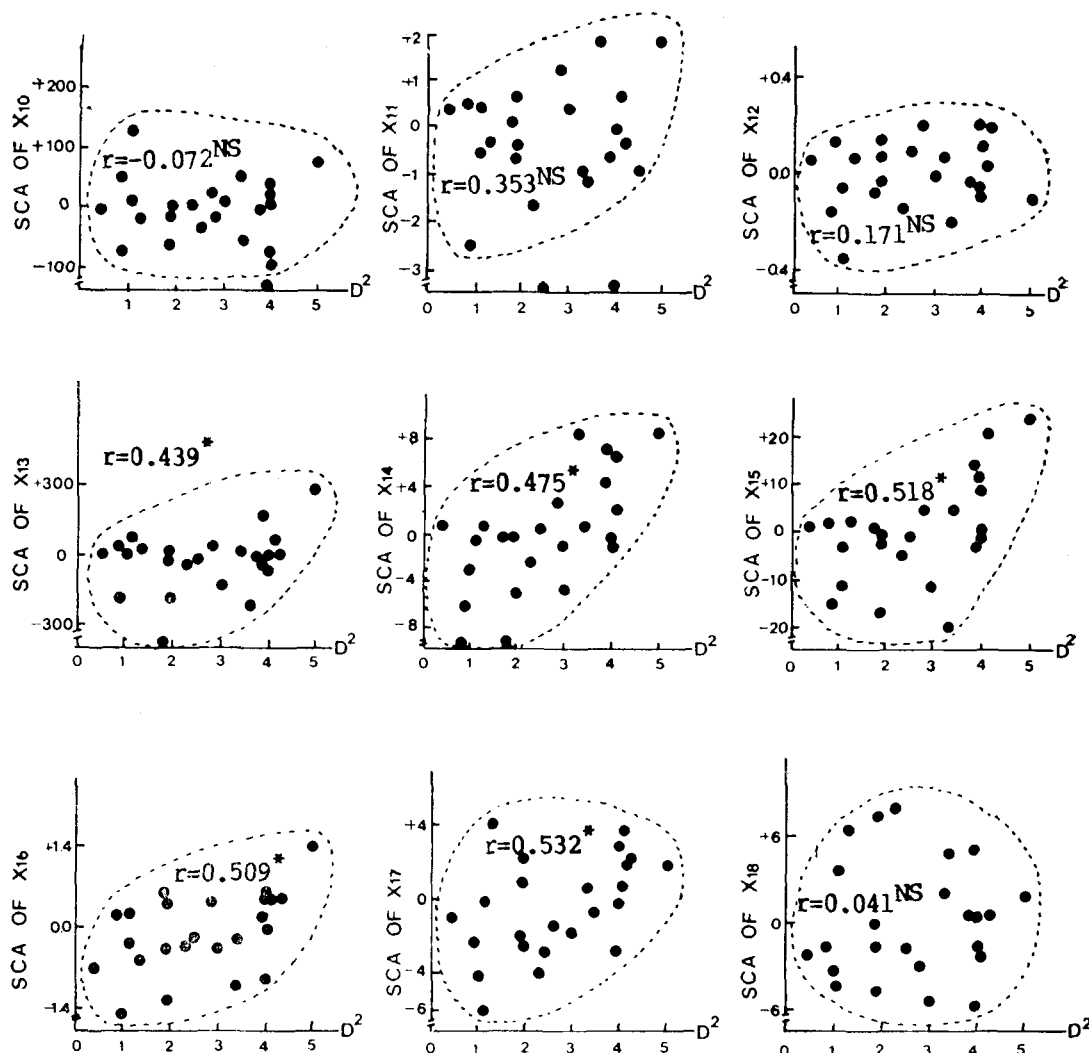


Fig. 6. Correlation between similarity coefficient(D^2) and SCA of 6×4 top cross set for nine reeling characters. The marks within each dotted circle indicate twenty four F_1 hybrids. See table 1 and 2 for legend.

個飼育形質의 GCA 및 蔗絲長 (X_{10}), 蔗絲量 (X_{11}), 解舒絲長 (X_{13}), 生絲量比率 (X_{16}), 小節 (X_{17}) 등의 5개 緯絲形質의 GCA와 1%수준에서 正의 상관이 인정되었고 解舒絲長 (X_{14})과는 5%水準에서 正의相關을 보이고 있다. 그러나 化蛹比率 (X_1), 上繭比率 (X_2), 蔗絲纖度 (X_{12}), 解舒率 (X_{15}), Lousiness (X_{18})의 GCA와 제 1 주성분 score는 거의 相關關係가 없는 것으로 나타났다.

이상의 결과에서 交配母本의 第 1 主成分 score는 網生產性因子(鄭 등, 1989)와 관련된 형질의 GCA와 매우 밀접한 관계가 있음을 알 수 있다. 즉 第 1 主成分 score의 高低에 따라 交配母本을 選拔하면 交配母本으로부터 F_1 을 作成, 막대한 費用, 時間, 努力を 要하는 실제사육을 하지 않고도 목적으로하는 網生產性에 관련된 GCA의 예측이 가능할 수 있을 것으로 생각된다.

나. 類似度距離(D^2)와 特定組合能力과의 關係

24個 Top-交配組合의 類似度距離(D^2)와 18個 調査形質의 SCA와의 관계를 보면 (그림 5, 6), 收繭量 (X_3)을 제외한 대부분의 形質 ($X_1 \sim X_9$)의 SCA는 類似度距離(D^2)와 상관이 없는 것으로 나타났다. 緯絲形質 ($X_{10} \sim X_{18}$) 中 解舒絲長 (X_{13}), 解舒絲量 (X_{14}), 解舒率 (X_{15}), 生絲量比率 (X_{16}), 小節 (X_{17})의 SCA는 D^2 와 5%有意水準에서 正의 相關을 보였으나 다른 4개의 緯絲形質 즉 蔗絲長 (X_{10}), 蔗絲量 (X_{11}), 蔗絲纖度 (X_{12}), Lousiness (X_{18})의 SCA와는 거의 無關한 것으로 나타났다. 이상의 결과로 보아 제 1 대 交雜種을 만들 때 D^2 를 計算, 遠緣끼리 交雜하면 몇개의 형질에 대하여 특정조합이 높은 조합을 찾아낼 수 있으나 그외의 형질은 D^2 의 무관하므로 이를 이용한다는 것은 사실상 어렵다고 판단된다. 따라서 이런 면에서 D^2 와 SCA와의 관계가 더욱 검토되어야 할 과제라고 생각된다.

摘要

主成分分析에 依하여 分類된 148個 保存蠶品種中에서 第一主成分 score에 따라 10個의 交配母品種을 選拔한 후 (鄭 등, 1989), 이들로부터 Top-交雜에 의해 24個 交配組合을 作成하고 組合能力檢定을 행함과 同時に 主成分과 交配組合能力과의 相互關係를 分析하였다.

1. 選拔된 育種母品種中에서 日本種系 N₃₉ 및 中國種系 C₄₆ 이 대부분의 형질에서 一般組合能力이 높았다.

2. 特定組合能力은 形質 또는 交配組合에 따라 차이가 심하였다.

3. 育種母品種의 第 1 主成分 score는 5齡經過日數, 全齡經過日數, 收繭量, 全繭重, 繭層重, 繭層比率, 蔗絲長, 蔗絲量, 解舒絲長, 生絲量比率, 小節등의 一般組合能力과 高度의 正의 相關關係가 있었다.

4. 類似度距離(D^2)는 收繭量, 解舒絲長, 解舒絲量, 解舒率, 生絲量比率, 小節등의 特定組合能力과 正의 相關이 있었다. 따라서 交配組合의 兩親이 遠緣일수록 이들 5個形質에 대한 特定組合能力은 높게 나타났다.

5. 育種母品種의 特성을 이용한 主成分分析의 第 1 主成分 score에 의해 一般組合能力의 預測이 가능하였다.

引用文獻

- Becker, W.A. (1985) Manual of quantitative genetics. p. 72.
- 蒲生卓磨・吉武成美・大井秀夫(1977) 蠶育種の現在と未來. 蠶科技 16(8):48-56.
- 橋口壽夫(1981) 蠶の雜種強勢と組合せ能力. 蠶科技 20 (5):54-57.
- 原田忠次・榎島守利・島崎旭(1968) 蠶絲試驗場日野桑園における飼育成績 17年間の推移. 蠶絲研究 (68): 90-105.
- Hayman, B.I. (1958) The theory and analysis of diallel crosses II. Genetics 43:63-85.
- 鄭都燮・李仁銓・李相夢・金三銀(1989) 多變量 解析法에 의한 누에育種素材의 探索 I. 主成分分析과 集落分析을 利用한 누에 品種分類. 韓蠶學誌 31(2): 102-112.
- 倉澤一二三(1968) 家蠶繭における計量形質の選抜 (I) 繭綿歩合およびラウジネス纖維の選抜のともなう繭의 計量形質の變化. 日蠶雜 37(1):43-50.
- 權寧河(1986) 누에 品種育成의 成果와 今後의 方向, 蠶業試驗場 pp. 1-48.
- 李相豐・洪起源・金啓明・孫基旭(1985) 누에 品種育成의 現況과 改善 方向. 韓育誌 17(3):295-305.
- 大井秀夫・宮原達男・山下昭弘(1970) 家蠶の交雜育種 初期世代における各種實用形質の系統間變異, 親子相關ならびに形質間相互關係の分析. 蠶試彙報 (93): 39-49.
- 大井秀夫・山下昭弘(1977) 日137號および支17號育成. 蠶試報 27(1):97-139.
- 大井秀夫(1981) 遺傳力と形質の相互關係. 蠶科技 20

- (4):66-69.
- 大塚雍雄・涉川明郎(1979) 蘭層重産卵數の共通選抜試験結果と場所的差異. 韓蠶學誌 (109):167-183.
- 齊尾乾二郎(1959) 家蠶における F_2 集團の選抜指數(附へリタビリティーおよび遺傳子相関). 育種雜 8(4):223-226.
- Singh R.K. & B.D., Chandhary (1985) Biometrical methods in quantitative genetic analysis. pp.205-213.
- 孫基旭・柳江善・洪起源・金啓明・朴年圭(1987) 絹生產力이 다른 系統間의 Diallel cross에 依한 누에 量的形質의 遺傳分析. 韓蠶學誌 29(2):7-14.
- 山本俊雄・蒲生卓磨(1974) 紿桑量を異にした榮養環境下におけるカイコの競争および計量形質の選抜效果. 育雜 24(5):217-225.
- 渡部仁(1961) 家蠶の單交配と複交配雜種における幼蟲體重および全繭重の變異性. 日蠶雜 30(6):463-468.
- 山本俊雄・蒲生卓磨(1974) 紿桑量を異にした榮養環境下におけるカイコの競争および計量形質の選抜效果. 育雜 24(5):217-225.